_____ ФИЗИЧЕСКИЕ МЕТОДЫ ____ ИССЛЕЛОВАНИЯ

УЛК 544.33+546.6

ТЕРМОДИНАМИКА МОНОКРИСТАЛЛОВ НА ОСНОВЕ МОЛИБДАТА ЦЕЗИЯ: СТАНДАРТНАЯ ЭНТАЛЬПИЯ ОБРАЗОВАНИЯ, ЭНТАЛЬПИЯ РЕШЕТКИ, ТЕПЛОЕМКОСТЬ

© 2023 г. Н. И. Мацкевич^a, *, А. Н. Семерикова^a, В. А. Трифонов^a, Д. А. Самошкин^a, b, А. А. Чернов^b, С. В. Станкус b , С. А. Лукьянова^a, В. Н. Шлегель^a, В. П. Зайцев^a, c, В. А. Кузнецов^a

^аИнститут неорганической химии им. А.В. Николаева СО РАН, пр-т Академика Лаврентьева, 3, Новосибирск, 630090 Россия ^bИнститут теплофизики им. С.С. Кутателадзе СО РАН, пр-т Академика Лаврентьева, 1, Новосибирск, 630090 Россия ^cСибирский государственный университет водного транспорта, ул. Щетинкина, 33, Новосибирск, 630099 Россия *e-mail: nata.matskevich@yandex.ru
Поступила в редакцию 19.08.2022 г.
После доработки 12.09.2022 г.
Принята к публикации 16.09.2022 г.

Кристаллы Cs_2MoO_4 , $Li_{1.9}Cs_{0.1}MoO_4$ были выращены низкоградиентным методом Чохральского из расплавов. Методом калориметрии растворения измерена стандартная энтальпия образования молибдата цезия (Cs_2MoO_4). Методом дифференциальной сканирующей калориметрии в интервале температур 320-710 К измерена теплоемкость $Li_{1.9}Cs_{0.1}MoO_4$. С использованием цикла Борна—Габера рассчитана энтальпия решетки Cs_2MoO_4 . Показано, что молибдат цезия является термодинамически устойчивым по отношению к распаду на простые оксиды (Cs_2O , MoO_3), что делает его перспективным для использования. Установлено, что соединение $Li_{1.9}Cs_{0.1}MoO_4$ не имеет фазовых переходов в интервале температур 320-710 К.

Ключевые слова: молибдат цезия, стандартная энтальпия образования, энтальпия решетки, теплоемкость, калориметрия растворения, ДСК-калориметрия

DOI: 10.31857/S0044457X22601456, EDN: LPHEOT

ВВЕДЕНИЕ

Монокристаллы на основе молибдатов и вольфраматов металлов первой группы, в частности на основе лития и цезия, находят широкое применение в различных областях [1—12]. Так, они используются в микроэлектронике, оптоэлектронике, оптической коммуникации, физике высоких энергий и др. Одним из преимуществ этих монокристаллов являются относительно низкие температуры плавления (до 1300 К), в связи с чем уменьшаются энергозатраты на производство.

Монокристаллы молибдатов и вольфраматов щелочных и щелочноземельных элементов также хорошо зарекомендовали себя при исследовании редких событий, таких как двойной безнейтринный β-распад и упругое когерентное рассеяние нейтрино на ядрах. Ввиду того, что зависимость сечения упругого когерентного рассеяния нейтрино на ядрах пропорциональна квадрату количества нейтронов в ядре, привлекательным является применение мишеней с большим числом

нейтронов, таковыми являются ядра молибдена и вольфрама.

Для оптимизации условий процесса роста монокристаллов, для понимания процессов устойчивости и деградации, для выбора наиболее оптимальных областей применения необходимы всесторонние физико-химические, в частности термодинамические исследования монокристаллов.

В настоящей работе низкоградиентным методом Чохральского выращены кристаллы Cs_2MoO_4 и $Li_{1.9}Cs_{0.1}MoO_4$. Целью работы является определение стандартной энтальпии образования, энтальпии решетки и энергии стабилизации монокристалла Cs_2MoO_4 , а также определение теплоемкости кристалла $Li_{1.9}Cs_{0.1}MoO_4$.

ЭКСПЕРИМЕНТАЛЬНАЯ ЧАСТЬ

Монокристалл Cs_2MoO_4 был выращен из собственного расплава методом Чохральского в



Рис. 1. Монокристалл Cs₂MoO₄.

условиях низких градиентов температуры [13, 14]. В качестве прекурсоров использовали глубоко очищенный MoO_3 (ИНХ СО РАН) и Cs_2CO_3 (ос. ч., ООО "Ланхит"). Реактивы смешивали в мольном соотношении Cs_2CO_3 : $MoO_3 = 1$: 1 согласно уравнению реакции: $Cs_2CO_3 + MoO_3 = Cs_2MoO_4 + CO_2 \uparrow$.

Твердотельный синтез проводили в тех же платиновых тиглях размером $130 (L) \times 70 (D) \text{ мм}^3$, из которых были выращены кристаллы. Реактивы перемешивали, засыпали в тигель. Закрытый платиновой крышкой, снабженной патрубком, тигель помещали в трехзонную печь сопротивления с верхней и нижней теплоизоляцией с низкой теплопроводностью и нагревали до 1000 К со скоростью 30 град/ч и выдерживали при этой температуре в течение 5 ч. Полноту твердотельных синтезов контролировали, наблюдая изменения веса, вызванные выходом СО2, и сравнивая их с расчетными изменениями веса. После этого температуру поднимали на 5 К выше точки плавления со скоростью 70 град/ч и выдерживали при этой температуре более 5 ч для гомогенизации расплава.

Кристалл Cs_2MoO_4 (рис. 1) выращивали на воздухе на неориентированные затравки. Процесс роста кристаллов осуществлялся в автоматическом режиме.

Синтез кристалла $Li_{1.9}Cs_{0.1}MoO_4$ проводили непосредственно в ростовой установке из исходных компонентов: Li_2CO_3 "ос. ч." 20-2 (ТУ 6-09-4757-84, Новосибирский завод редких металлов), MoO_3 (ИНХ СО РАН), Cs_2MoO_4 "ч." (ТУ 6-09-04-80-82). В платиновый тигель с размерами 130 (L) \times \times 70 (D) мм³ помещали стехиометрическую смесь соответствующих компонентов. Тигель помещали в трех зонную печь с омическим нагревателем. Смесь нагревали до температуры, на 10-15~ К превышающей температуру плавления выращиваемого соединения, и выдерживали в течение 10~ ч для гомогенизации расплава. Затем температуру расплава снижали до температуры равновесия между расплавом и затравкой.

Кристалл $Li_{1.9}Cs_{0.1}MoO_4$ (рис. 2) был выращен на поликристаллическую затравку, намороженную на платиновый держатель. Скорость вращения затравки составляла 6 об/мин, продолжительность процесса выращивания — 4 сут при скорости кристаллизации $0.5 \, \text{мм/ч}$.

Рентгенофазовый анализ кристаллов Cs_2MoO_4 , $Li_{1.9}Cs_{0.1}MoO_4$ проводили на дифрактометре Shimadzu XRD-7000 (CuK_{α} -излучение).

Для определения стандартной энтальпии образования монокристалла Cs₂MoO₄ был выбран метод калориметрии растворения. Метод калориметрии растворения широко используется для получения термохимических характеристик неорганических и органических соединений [15–18]. Растворный автоматизированный калориметр с изотермической оболочкой, в котором проводилось определение стандартной энтальпии образования Cs_2MoO_4 , подробно описан в наших работах [19-21]. Перед проведением измерений энтальпии растворения молибдата цезия калориметр был проверен на правильность работы путем растворения хлорида калия. Полученная на данном калориметре энтальпия растворения КСІ хорошо совпала с величиной, рекомендованной в литературе [22, 23].

Теплоемкость кристалла $Li_{1.9}Cs_{0.1}MoO_4$ определяли в температурном интервале 320-710 К. Целью данного исследования было выяснение наличия фазовых переходов в этом интервале. Теплоемкость измеряли методом дифференциальной сканирующей калориметрии. В настоящее время современные методы по определению теплоемкости методом ДСК являются одними из востребованных методов [24–28]. Для измерений теплоемкости кристалла $Li_{1.9}Cs_{0.1}MoO_4$ использовали калориметр фирмы NETZSCH, прибор марки DSC 404 F1. Измерения проводили в платино-

вых тиглях с корундовыми вкладышами и платиновыми крышками. Эксперименты осуществляли в потоке аргона (20 мл/мин). Скорость нагрева была подобрана таким образом, чтобы обеспечить прецизионность измерений, и составляла 6 град/мин. Методика и процесс проведения измерений описаны в работах [29—31].

РЕЗУЛЬТАТЫ И ОБСУЖДЕНИЕ

Полученые соединения Cs_2MoO_4 и $Li_{1.9}Cs_{0.1}MoO_4$ были охарактеризованы методом рентгенофазового анализа. Согласно результатам анализа, монокристалл Cs_2MoO_4 имеет орторомбическую структуру (пр. гр. *Ртсп*). Параметры решетки: a = 6.575, b = 11.598, c = 8.513 Å. Параметры хорошо совпадают с результатами, приведенными в литературе [32]. Кристалл $Li_{1.9}Cs_{0.1}MoO_4$ имеет структуру фенакита (пр. гр. $R\overline{3}$). Параметры решетки: a = b = 14.194, c = 9.482 Å.

Для определения стандартной энтальпии образования монокристалла Cs_2MoO_4 в качестве растворителя был выбран водный раствор гидроксида калия (КОН) с концентрацией 0.40162 моль кг $^{-1}$ КОН, молярная масса КОН 56.10564 г моль $^{-1}$.

Термохимический цикл для определения стандартной энтальпии образования монокристалла Cs_2MoO_4 был построен таким образом, что энтальпия растворения оксида молибдена в КОН сравнивалась с энтальпией растворения Cs_2MoO_4 . Схема термохимического цикла представлена ниже

$$MoO_3(s) + 2KOH(sol) = 2K^+(sol) + MoO_4^{2-}(sol) + H_2O(l) + KOH(sol) + \Delta_{sol}H_1^0,$$
 (1)

$$Cs_2MoO_4(s) + KOH(sol) = 2Cs^+(sol) + + MoO_4^{2-}(sol) + KOH(sol) + \Delta_{sol}H_2^0.$$
 (2)

Энтальпии растворения MoO_3 и Cs_2MoO_4 измерены экспериментально. С использованием закона Гесса можно получить:

$$MoO_{3}(s) + 2KOH(sol) + 2Cs^{+}(sol) =$$

$$= Cs_{2}MoO_{4}(s) + 2K^{+}(sol) + H_{2}O(1) + \Delta_{r}H^{0}.$$
(3)

Измеренные нами энтальпии растворения для оксида молибдена, молибдата цезия при температуре 298.15 К составляют:

$$\Delta_{\text{sol}} H_1^0 (\text{MoO}_3, \text{ s, } 298.15 \text{ K}) =$$
= -77.23 ± 5.04 кДж моль⁻¹,
$$\Delta_{\text{sol}} H_2^0 (\text{Cs}_2 \text{MoO}_4, \text{ s, } 298.15 \text{ K}) =$$
= +3.08 ± 1.61 кДж моль⁻¹.



Рис. 2. Кристалл Li_{1.9}Cs_{0.1}MoO₄.

Погрешности приведены для 95%-го доверительного интервала с использованием коэффициента Стьюдента.

Из схемы реакций (1)—(3), согласно закону Гесса, можно рассчитать энтальпию реакции (3):

$$\Delta_r H_3^0 = \Delta_{\text{sol}} H_1^0 - \Delta_{\text{sol}} H_2^0 =$$
= -80.31 ± 5.29 кДж моль

Далее из уравнения (3) можно выразить стандартную энтальпию образования исследуемого соединения:

$$\Delta_f H_{298}^0(\text{Cs}_2\text{MoO}_4) = \Delta_r H_3^0 - 2\Delta_f H_{298}^0(\text{K}^+) - \Delta_f H_{298}^0(\text{H}_2\text{O}) + 2\Delta_f H_{298}^0(\text{KOH}) + + \Delta_f H_{298}^0(\text{MoO}_3) + 2\Delta_f H_{298}^0(\text{Cs}^+).$$

Величины для стандартных энтальпий образования соединений и ионов, необходимых для расчета, представлены ниже [33]: $\Delta_f H_{298}^0 \left(\mathbf{K}_{\mathrm{sol}}^+ \right) = -252.253 \pm 0.125 \ \mathrm{кДж} \ \mathrm{моль}^{-1}; \ \Delta_f H_{298}^0 \ \left(\mathbf{H}_2 \mathbf{O} \right) = -285.829 \pm 0.125 \ \mathrm{кДж}$

 ± 0.040 кДж моль $^{-1}$; $\Delta_f H_{298}^0$ (КОН $_{\rm sol}$) = -482.289 ± 0.150 кДж моль $^{-1}$; $\Delta_f H_{298}^0$ (МоО $_{3\rm s}$) = -745.170 ± 0.460 кДж моль $^{-1}$; $\Delta_f H_{298}^0$ (Сѕ $_{\rm sol}^+$) = -258.069 ± 0.125 кДж моль $^{-1}$.

С использованием измеренной нами энтальпии реакции (3) и вышеприведенных стандартных энтальпий образования мы рассчитали стандартную энтальпию образования молибдата цезия:

$$\Delta_f H_{298}^0(\mathrm{Cs_2MoO_4}) = -1515.86 \pm 5.32$$
 кДж моль $^{-1}$.

Ранее в работе [34] была измерена стандартная энтальпия образования молибдата цезия путем растворения в водном растворе гидроксида цезия. Молибдат цезия был получен в работе [34] путем очистки коммерческого реактива фирмы Сегас Риге. Полученная в работе [34] величина стандартной энтальпии образования молибдата цезия равна: $\Delta_f H_{298}^0 \ (\text{Cs}_2\text{MoO}_4) = -1514.61 \pm 0.46 \ \text{кДж моль}^{-1}.$ Как можно видеть, в пределах погрешности измерений величины стандартных энтальпий образования монокристалла Cs_2MoO_4 , выращенного в настоящей работе, и молибдата цезия, полученного в работе [34], согласуются между собой. Это говорит о надежности полученных величин.

Далее из измеренной стандартной энтальпии образования монокристаллического Cs₂MoO₄ мы рассчитаем энергию стабилизации. Энергия стабилизации — это энтальпия образования из простых оксидов, в данном случае из Сs₂О и MoO₃. Для Cs₂MoO₄ энергия стабилизации рассчитывается по следующем уравнению: $\Delta_{
m ox}H_{298}^0$ $(Cs_2MoO_4, s) = \Delta_f H_{298}^0 (Cs_2MoO_4, s) - \Delta_f H_{298}^0$ $(Cs_2O, s) - \Delta_f H_{298}^0$ (MoO₃, s). Энергия стабилизации была рассчитана на основании измеренной стандартной энтальпии образования Cs₂MoO₄ и стандартных энтальпий образования простых оксидов, взятых из справочника [33]: $\Delta_f H_{298}^0$ (Cs₂O, s) = -345.974 ± 1.171 кДж моль⁻¹; $\Delta_f H_{298}^0$ (MoO₃, s) = -745.170 ± 0.460 кДж моль⁻¹. Рассчитанная энергия стабилизации равна:

$$\Delta_{\text{ox}} H_{298}^0(\text{Cs}_2\text{MoO}_4, \text{ s}) =$$
= - 424.72 ± 5.47 кДж моль⁻¹.

Поскольку энергия стабилизации Cs_2MoO_4 является отрицательной величиной, можно заключить, что монокристалл Cs_2MoO_4 является термодинамически стабильным по отношению к распаду на простые оксиды, что делает его перспективным для использования.

Далее, используя значение стандартной энтальпии образования, мы рассчитали энтальпию

решетки ($\Delta_{lat}H^0$) для монокристалла Cs_2MoO_4 . Для расчета использовали цикл Борна—Габера:

$$2Cs(s) + Mo(s) + 2O_{2}(g) = = Cs_{2}MoO_{4}(s) + \Delta_{f}H_{la}^{0},$$
(1a)

$$2Cs^{+}(g) = 2Cs(s) + 2\Delta_{r}H_{2a}^{0},$$
 (2a)

$$Mo^{6+}(g) = Mo(s) + \Delta_r H_{3a}^0,$$
 (3a)

$$4O^{2-}(g) = 2O_2(g) + 4\Delta_r H_{4a}^0,$$
 (4a)

 $2Cs^{+}(g) + Mo^{6+}(g) + 2O^{2-}(g) =$ $= Cs_{2}MoO_{4}(s) + \Delta_{lat}H_{5a}^{0}.$ (5a)

Энтальпии образования ионов Cs⁺(g), Mo⁶⁺(g), O²⁻(g) были взяты из справочника [33]: $\Delta_r H_{2a}^0 = -452.6 \,\mathrm{кДж}\,\mathrm{моль}^{-1}$; $\Delta_r H_{3a}^0 = -22463.9 \,\mathrm{кДж}\,\mathrm{моль}^{-1}$; $\Delta_r H_{4a}^0 = -905.8 \,\mathrm{кДж}\,\mathrm{моль}^{-1}$.

С использованием цикла (1а)—(4а) мы рассчитали энтальпию решетки для Cs_2MoO_4 : $\Delta_{lat}H_{5a}^0 = -28510 \, кЛж моль^{-1}$.

В следующей части статьи перейдем к измерению теплоемкости соединения $Li_{1.9}Cs_{0.1}MoO_4$. Теплоемкость определяли методом ДСК в интервале температур 320-710 К. Масса образца $Li_{1.9}Cs_{0.1}MoO_4$ для измерения высокотемпературной теплоемкости составляла 73.32 мг. В качестве калибровочного образца использовали сапфирмассой 85.28 мг.

Проводили три термических цикла измерений в интервале температур 320—710 К. Данные второго и третьего нагрева хорошо согласуются между собой. Данные первого нагрева отличаются, это связано с отжигом образца и удалением абсорбированных примесей с поверхности образца. Данные третьего нагрева теплоемкости представлены на рис. 3.

Из рис. 3 видно, что кривая теплоемкости для соединения $Li_{1.9}Cs_{0.1}MoO_4$ изменяется монотонно. Следовательно, в исследуемом интервале температур отсутствуют фазовые переходы, что очень важно для использования.

Для сглаживания теплоемкости мы использовали программное обеспечение Origin.

Теплоемкость соединения $Li_{1.9}Cs_{0.1}MoO_4$ была описана нами полиномом третьей степени:

$$C_p = 35.33138 + 0.51074T - 6.21588 \times 10^{-4}T^2 +$$

+2.91805×10⁻⁷ T^3 (Дж K^{-1} моль⁻¹).

Отклонение экспериментально измеренной теплоемкости от сглаженного значения не превышало 0.3%.

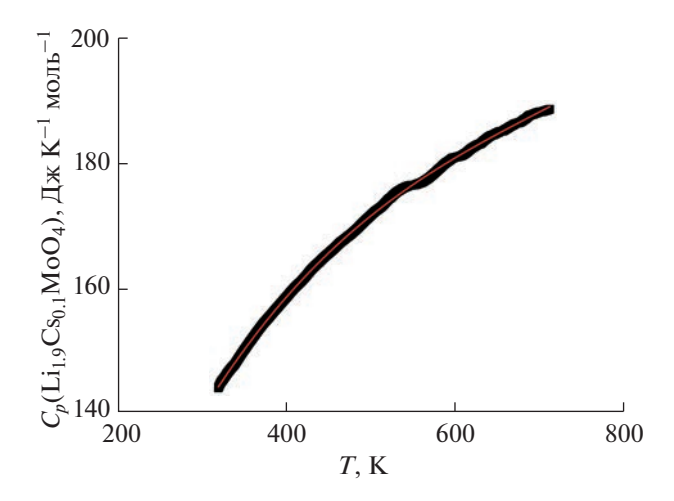


Рис. 3. Теплоемкость ${\rm Li}_{1.9}{\rm Cs}_{0.1}{\rm MoO_4}$ в интервале температур 320—710 К.

Согласно представленной выше зависимости, теплоемкость соединения $\text{Li}_{1.9}\text{Cs}_{0.1}\text{MoO}_4$ при стандартной температуре составляет: C_p ($\text{Li}_{1.9}\text{Cs}_{0.1}\text{MoO}_4$, 298.15 K) = 140.1 Дж K $^{-1}$ моль $^{-1}$.

также оценили теплоемкость $Li_{1.9}Cs_{0.1}MoO_4$ как аддитивную величину из теплоемкости Li₂MoO₄ и Cs₂MoO₄, измеренной методом низкотемпературной калориметрии [35, 36]. Оцененная величина составляет: C_p (Li_{1.9}Cs_{0.1}MoO₄, 298.15 K) = $133.2 \text{ Дж K}^{-1} \text{ моль}^{-1}$. Данная величина в пределах 5% согласуется с величиной, полученной путем расчета по кубическому полиному. Разница между экспериментальной теплоемкостью Li_{1.9}Cs_{0.1}MoO₄ при стандартных условиях и теплоемкостью, оцененной аддитивным методом из теплоемкости Li_2MoO_4 и Cs_2MoO_4 , может быть связана как с ошибкой эксперимента ДСК, так и с неизоструктурностью молибдатов лития и цезия.

Таким образом, в настоящей работе были выращены кристаллы Cs_2MoO_4 и $Li_{1.9}Cs_{0.1}MoO_4$ низкоградиентным методом Чохральского с весовым контролем. Методом калориметрии растворения определена стандартная энтальпия образования Cs_2MoO_4 , рассчитана энтальпия стабилизации и энтальпия решетки. Показано, что данное соединение является термодинамически устойчивым по отношению к распаду на простые оксиды, что делает его перспективным для применения. Теплоемкость кристалла $Li_{1.9}Cs_{0.1}MoO_4$ измерена методом дифференциальной сканирующей калориметрии в интервале температур 320—710 К. Показано, что в данном интервале отсутствуют фазовые переходы.

ЗАКЛЮЧЕНИЕ

Низкоградиентным методом Чохральского выращены кристаллы Cs_2MoO_4 , $Li_{1.9}Cs_{0.1}MoO_4$. Стандартная энтальпия образования молибдата цезия определена методом калориметрии растворения; рассчитана энтальпия решетки и энергия стабилизации. Методом дифференциальной сканирующей калориметрии измерена теплоемкость соединения $Li_{1.9}Cs_{0.1}MoO_4$ в интервале температур 320-710 К. Показано, что зависимость теплоемкости соединения $Li_{1.9}Cs_{0.1}MoO_4$ от температуры является плавной, т.е. в интервале температур 320-710 К отсутствуют фазовые переходы.

ФИНАНСИРОВАНИЕ РАБОТЫ

Настоящая работа поддержана Российским научным фондом (проект 19-19-00095-П). Н.И. Мацкевич, А.Н. Семерикова, В.А. Трифонов, В.Н. Шлегель, С.А. Лукьянова, В.А. Кузнецов благодарят Министерство науки и высшего образования РФ (проект 121031700314-5) за использование калориметра и установок для роста кристаллов.

КОНФЛИКТ ИНТЕРЕСОВ

Авторы заявляют, что у них нет конфликта интересов.

СПИСОК ЛИТЕРАТУРЫ

- Simonenko T.L., Bocharova V.A., Simonenko N.P. et al. // Russ. J. Inorg. Chem. 2021. V. 66. P. 1779. https://doi.org/10.1134/S0036023621120160
- Bekker T.B., Coron N., Danevich F.A. et al. // Astroparticle Phys. 2016. V. 72. P. 38. https://doi.org/10.1016/j.astropartphys.2015.06.002
- 3. *Barinova O., Sadovskiy A., Ermochenkov I.* // J. Cryst. Growth. 2017. V. 468. P. 365. https://doi.org/10.1016/j.jcrysgro.2016.10.009
- Fattakhova Z.A., Vovkotrub E.G., Zhknarova G.S. // Russ. J. Inorg. Chem. 2021. V. 66. P. 35. https://doi.org/10.1134/S0036023621010022
- Teng T., Xiao L., Shen L. et al. // Appl. Surf. Sci. 2022.
 V. 601. P. 154101.
 https://doi.org/10.1016/j.apsusc.2022.154101
- Isaenko L.I., Korzhneva K.E., Khyzhin O.Y. et al. // J. Solid State Chem. 2019. V. 277. P. 786. https://doi.org/10.1016/j.jssc.2019.07.047
- 7. Steblevskaya N.I., Belobeletskaya M.V., Yarovaya T.P. et al. // Russ. J. Inorg. Chem. 2022. V. 67. P. 245. https://doi.org/10.1134/S0036023622020164
- Kim H., Pandey I.R., Khan A. et al. // Cryst. Res. Technol. 2019. V. 54. P. 1900079. https://doi.org/10.1002/crat.201900079
- Son J.K., Pandey I.R., Kim H.J. et al. // IEEE Trans. Nucl. Sci. 2018. V. 65. P. 2120. https://doi.org/10.1109/TNS.2018.2818330

- Papynov E.K., Shichalin O.O., Belov A.A. et al. // Russ. J. Inorg. Chem. 2021. V. 66. P. 1434. https://doi.org/10.1134/S0036023621090114
- Smith A.L., Kauric G., van Eijck L. et al. // J. Solid State Chem. 2017. V. 253. P. 89. https://doi.org/10.1016/j.jssc.2017.05.032
- 12. *Matskevich N.I.*, *Semerikova A.N.*, *Shlegel V.N. et al.* // J. Alloys Compd. 2021. V. 850. P. 156683. https://doi.org/10.1016/j.jallcom.2020.156683
- 13. Kasimkin P.V., Moskovskih V.A., Vasiliev Y.V. // J. Cryst. Growth. 2014. V. 390. P. 67. https://doi.org/10.1016/j.jcrysgro.2013.12.027
- 14. *Volokitina A., Loiko P., Pavlyuk A. et al.* // Opt. Mater. Express. 2020. V. 10. P. 2356. https://doi.org/10.1364/OME.400894
- Matiutin A.S., Kovalenko N.A., Uspenskaya I.A. // J. Chem. Eng. Data. 2022. V. 67. P. 984. https://doi.org/10.1021/acs.jced.1c00849
- Druzhinina A.I., Tiflova L.A., Monayenkova A.S. et al. // Russ. J. Phys. Chem. A. 2019. V. 93. P. 2101. https://doi.org/10.1134/S0036024419110098
- Matskevich N.I., Kellerman D.G., Gelfond N.V. et al. // Russ. J. Inorg. Chem. 2020. V. 65. P. 720. https://doi.org/10.1134/S0036023620050150
- 18. Tsvetkov D.S., Sereda V.V., Malyshkin D.A. et al. // Chim. Techno Acta. 2021. V. 7. P. 42. https://doi.org/10.15826/CHIMTECH.2020.7.2.01
- Matskevich N.I., Wolf Th., Vyazovkin I.V. et al. // J. Alloys Compd. 2015. V. 628. P. 126. https://doi.org/10.1016/j.jallcom.2014.11.220
- Matskevich N.I., Chuprova M.V., Punn R. et al. // Thermochim. Acta. 2007. V. 459. P. 125. https://doi.org/10.1016/j.tca.2007.03.015
- Matskevich N.I., Krabbes G., Berasteguie P. // Thermochim. Acta. 2003. V. 397. P. 97. https://doi.org/10.1016/S0040-6031(02)00330-1
- Kilday M.V. // J. Res. Nat. Bur. Stand. 1980. V. 85. P. 467.
- 23. *Gunther C., Pfestorf R., Rother M. et al.* // J. Therm. Anal. Calorim. 1988. V. 33. P. 359. https://doi.org/10.1007/BF01914624

- Guskov A.V., Gagarin P.G., Guskov V.N. et al. // Russ. J. Phys. Chem. A. 2022. V. 96. P. 1195. https://doi.org/10.1134/S0036024422060103
- 25. Zvereva I.A., Shelyapina M.G., Chislov M. et al. // J. Therm. Anal. Calorim. 2022. V. 147. P. 6147. https://doi.org/10.1007/s10973-021-10947-4
- Kosova D.A., Provotorov D.I., Kuzovchikov S.V. et al. // Russ. J. Inorg. Chem. 2020. V. 65. P. 752. https://doi.org/10.1134/S0036023620050125
- Samoshkin D.A., Agazhanov A.Sh., Stankus S.V. // J. Phys.: Conf. Ser. 2021. V. 2119. P. 012135. https://doi.org/10.1088/1742-6596/2119/1/012135
- 28. Smirnova N.N., Markin A.V., Abarbanel N.V. et al. // Russ. J. Phys. Chem. A. 2021. V. 95. P. 2387. https://doi.org/10.1134/S0036024421120219
- 29. *Matskevich N.I.*, *Wolf Th.*, *Le Tacon M. et al.* // J. Therm. Anal. Calorim. 2017. V. 130. P. 1125. https://doi.org/10.1007/s10973-017-6493-z
- Drebushchak V.A., Isaenko L.I., Lobanov S.I. et al. // J. Therm. Anal. Calorim. 2017. V. 129. P. 103. https://doi.org/10.1007/s10973-017-6176-9
- 31. *Tkachev E.N., Matskevich N.I., Samoshkin D.A. et al.* // Phys. B: Cond. Matter. 2021. V. 612. P. 412880. https://doi.org/10.1016/j.physb.2021.412880
- Khan A., Khan S., Kim H.J. et al // Optik. 2021. V. 242.
 P. 167035.
 https://doi.org/10.1016/j.ijleo.2021.167035
- 33. *Glushko V.P.* Termicheskie Konstanty Veshchestv (Thermal Constants of Substances), Moscow: VINITI, 1965–1982. № 1–10.
- 34. *O'Hare P.A.G.*, *Hoekstra H.R.* // J. Chem. Thermodyn. 1973. V. 5. P. 851. https://doi.org/10.1016/S0021-9614(73)80047-3
- Musikhin A.E., Naumov V.N., Bespyatov M.A. et al. // J. Alloys Compd. 2015. V. 639. P. 145. https://doi.org/10.1016/j.jallcom.2015.03.159
- Orborne D.W., Flotov H.E., Hoekstra H.R. // J. Chem. Thermodyn. 1974. V. 6. P. 179. https://doi.org/10.1016/0021-9614(74)90260-2